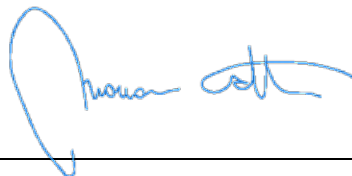


PROPONENTE:

REPOWER
L'energia che ti serve.

PROGETTAZIONE:

HE **Hydro Engineering s.s.**
di Damiano e Mariano Galbo
via Rossotti, 39
91011 Alcamo (TP) Italy



N°COMMESSA:
1454

IMPIANTO EOLICO "CRAVAREZZA"
REGIONE LIGURIA – PROVINCIA DI SAVONA
COMUNI DI CALICE LIGURE (PARCO EOLICO), MALLARE (PARCO EOLICO CAVIDOTTI E SSEU)
ORCO FEGLINO E ALTARE (CAVIDOTTI)

PROGETTO DEFINITIVO

ELABORATO: Relazione gittata massima elementi rotanti

CODICE ELABORATO
1454_R16

NOME FILE:
1454_R16_Relazione gittata massima elementi rotanti.doc

0	11/2021	1° Emissione	MG	VF	EG
REV.	DATA	DESCRIZIONE REVISIONE	REDATTO	VERIFICA	APPROVATO

INDICE

1	PREMESSA.....	3
2	STORICO DEGLI INCIDENTI	4
3	CENNI SUL FUNZIONAMENTO DI UN AEROGENERATORE	5
4	AEROGENERATORE TIPO DI RIFERIMENTO	7
5	DESCRIZIONE DELL'AEROGENERATORE.....	9
6	ROTTURA PALA	11
6.1	FATTORI CHE INFLUENZANO LA GITTATA	11
6.2	MOTO ROTAZIONALE COMPLESSO	12
6.3	ROTTURA DELLA PALA ALLA RADICE	13
6.4	DETERMINAZIONE GITTATA AEROGENERATORE D=136 M.....	16
6.5	FRAMMENTO DI PALA	22
6.6	GITTATA MASSIMA DEL FRAMMENTO DI PALA	22
7	CONCLUSIONI	23
8	ALLEGATO 1 – BUFFER GITTATA SU ORTOFOTO	25
9	ALLEGATO 2 – IMMOBILI CENSITI NELL'INTORNO DI 1000 M DAGLI AEROGENERATORI DI PROGETTO	27

1 PREMESSA

La società Hydro Engineering s.s. è stata incaricata dalla società Repower Renewable s.p.a. con sede legale in Venezia (VE) via Lavaredo 44/52 cap 30174, di redigere il progetto definitivo dell'impianto eolico denominato "Cravarezza" composto da sette aerogeneratori, ciascuno di potenza nominale pari a 4,30 MW, per una potenza complessiva di 30,1 MW, ubicato nei Comuni di **Calice Ligure** e **Mallare** in Provincia di Savona.

Il modello tipo di aerogeneratore scelto avrà come detta potenza nominale di 4,3 MW con altezza al mozzo pari a 112,0 m, diametro rotore pari a 136,0 m e altezza massima al top della pala pari a 180,0 m. Questa tipologia di aerogeneratore è allo stato attuale quella ritenuta più idonea per il sito di progetto dell'impianto.

La presente relazione costituisce lo studio della distanza massima raggiungibile dalla rottura di una pala o di un frammento di essa (gittata massima). In qualsiasi caso, la gittata massima e la velocità all'impatto sono dei fattori determinanti per la stima del rischio.

Il calcolo presenta alcune complessità in quanto le variabili in gioco sono numerose ed il risultato può essere soltanto di tipo probabilistico in quanto legato alle modalità ed al momento del distacco.

2 STORICO DEGLI INCIDENTI

Il tasso d'incidentalità, nell'ultimo decennio, è ancora diminuito a seguito dell'evoluzione tecnologica e del miglioramento delle macchine eoliche, malgrado l'aumento medio delle loro dimensioni.

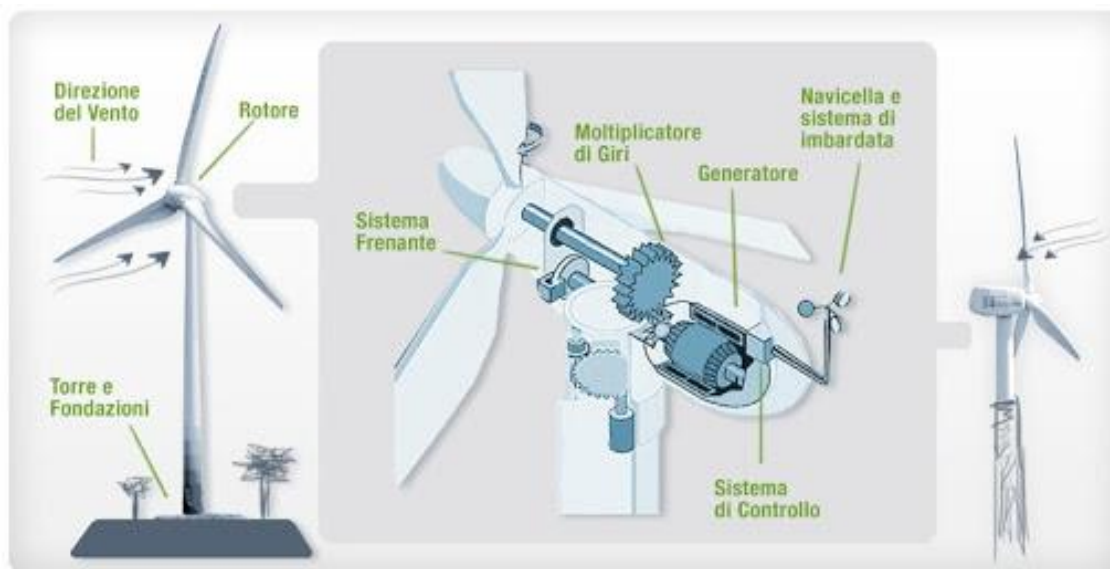
Uno studio danese ha condotto su 18 mesi, tra il 1998 e i 1999, un'analisi riguardante le pale, le navicelle e le torri di 2.130 rotori, per una produzione complessiva di 540 MW. Su 3.195 anni cumulati di funzionamento, solo 7 incidenti hanno comportato la distruzione delle pale. Il tasso è dunque di un incidente ogni 457 anni-macchina. Si noti che la Danimarca presenta maggiori rischi di guasti e di sospensione della produzione a causa della presenza di brina e di ghiaccio.

Un altro studio danese a partire da dati registrati su 120 mesi tra il 1993 e il 2003 in un parco di 1.912 impianti mostra una probabilità di distruzione di 0,00083 impianti per anno. In ambito rurale, la correlazione di questa statistica (6×10^{-5} /anno) con la probabilità di occupazione di un m² di terreno da parte di una persona individua una probabilità globale di ferire qualcuno molto bassa.

3 CENNI SUL FUNZIONAMENTO DI UN AEROGENERATORE

Le pale di un aerogeneratore sono fissate su un mozzo, e nell'insieme costituiscono il rotore. Vi è un sistema di controllo aerodinamico, chiamato imbardata, che permette il controllo della potenza ruotando le pale intorno al loro asse principale, modificando l'orientamento rispetto alla direzione del vento, per offrire allo stesso sempre il medesimo profilo alare garantendo, indipendentemente dalla direzione del vento, un verso orario di rotazione.

Si riporta di seguito una figura esemplificativa che evidenzia il verso di rotazione dell'aerogeneratore, in relazione alla direzione del vento.

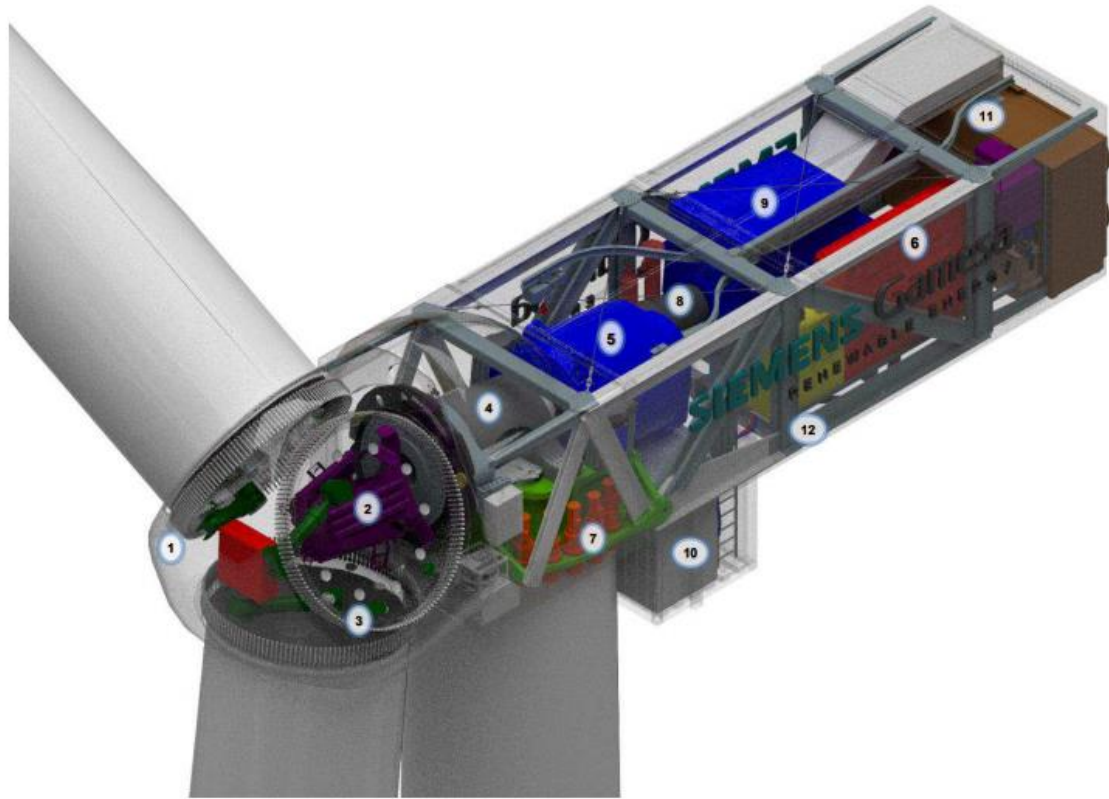


Tipico Aerogeneratore

Questa considerazione servirà per fissare in ogni momento il verso della velocità tangenziale, responsabile della gittata nel piano, rispetto a quello della velocità del vento, ortogonale alla velocità tangenziale e a sua volta responsabile della gittata fuori dal piano.

Dalla composizione delle due traiettorie si ottiene la traiettoria complessiva che individua la direzione del moto del corpo che si distacca. Mettendo in relazione tale traiettoria con la corografia del luogo si capisce se la pala nella percorrenza della sua traiettoria può rappresentare un elemento di pericolo per la strada e/o altro edificio interessato.

La navicella dell'aerogeneratore da un punto di vista meccanico si presenta come segue:



- | | |
|-----------------------|--------------------|
| 1 Hub | 7 Yaw system |
| 2 Pitch system | 8 High speed shaft |
| 3 Blade bearings | 9 Generator |
| 4 Low speed shaft | 10 Transformer |
| 5 Gearbox | 11 Cooling system |
| 6 Electrical cabinets | 12 Rear Structure |

4 AEROGENERATORE TIPO DI RIFERIMENTO

Le macchine di riferimento per il calcolo avranno le seguenti caratteristiche:

ROTORE

- diametro 136 m
- area spazzata 14.527 m²
- velocità di rotazione massima 14,0 rpm
- numero pale 3

TORRE

- tipo: tubolare
- struttura: sezioni collegate tramite flangiatura
- altezza 112 m

FUNZIONAMENTO

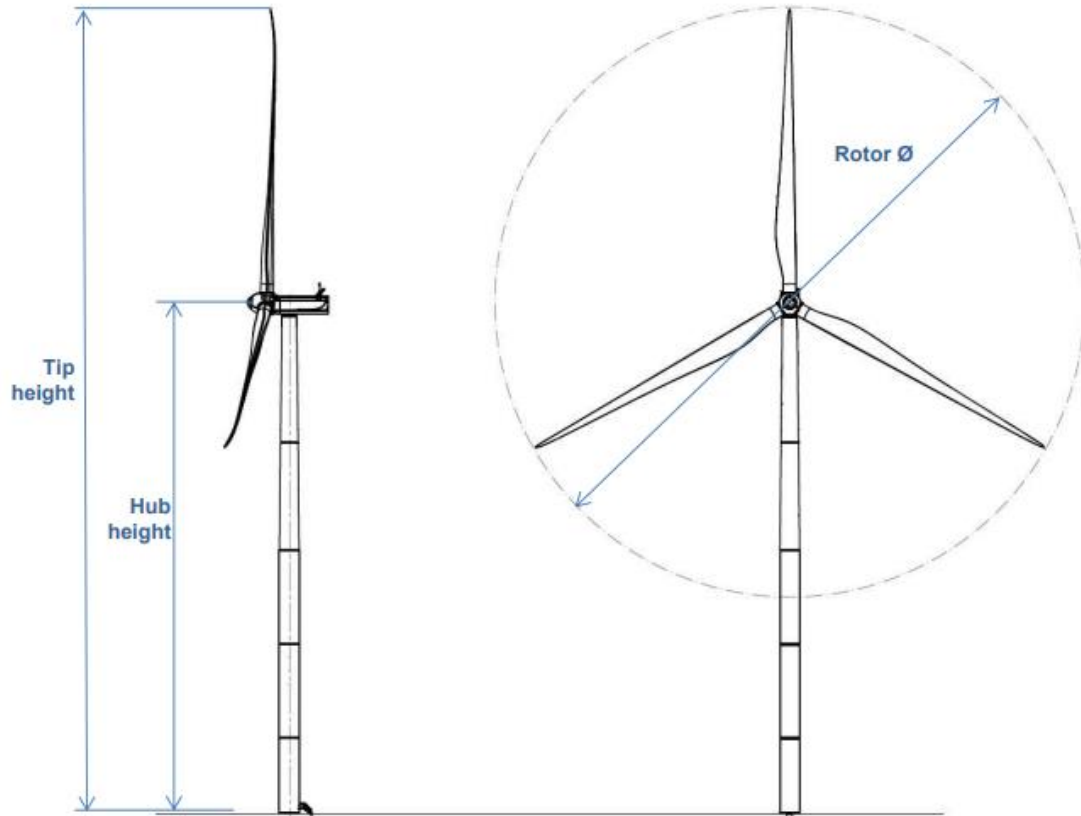
- cut-out 25 m/s (velocità del rotore gradualmente ridotta)
- Potenza 4.30 MW

RELAZIONE GITTATA MASSIMA ELEMENTI ROTANTI

REALIZZAZIONE IMPIANTO EOLICO "CRAVAREZZA"

COMUNI DI CALICE LIGURE MALLARE ORCO FEGLINO E ALTARE (SV)

PROGETTO DEFINITIVO



5 DESCRIZIONE DELL'AEROGENERATORE

L'aerogeneratore è una macchina che sfrutta l'energia cinetica posseduta del vento, per la produzione di energia elettrica.

Sul mercato esistono diverse tipologie di aerogeneratori, ad asse orizzontale e verticale, con rotore mono, bi o tripala, posto sopra o sottovento. Il tipo di aerogeneratore previsto per l'impianto in oggetto è un aerogeneratore ad asse orizzontale con rotore tripala e una potenza massima di 4300 KW, le cui caratteristiche principali sono di seguito riportate:

- rotore tripala a passo variabile, di diametro di 136 m, posto sopravvento al sostegno, in resina epossidica rinforzata con fibra di vetro, con mozzo rigido in acciaio;
- navicella in carpenteria metallica con carenatura in vetroresina e lamiera, in cui sono collocati il generatore elettrico e le apparecchiature idrauliche ed elettriche di comando e controllo;
- sostegno tubolare troncoconico in acciaio, avente altezza fino all'asse del rotore al pari a 112 m.

L'altezza complessiva dell'aerogeneratore è pari a 180 m.

I tronchi di torre sono realizzati da lastre in acciaio laminate, saldate per formare una struttura tubolare troncoconica.

Si tratta di aerogeneratori di ultima generazione, già impiegati estesamente in altri parchi italiani/UE, che consentono il miglior sfruttamento della risorsa vento e che presentano garanzie specifiche dal punto di vista della sicurezza.

La turbina viene di solito equipaggiata, in accordo alle disposizioni dell'ENAC (Ente Nazionale per l'Aviazione Civile), con un sistema di segnalazione diurna e notturna per la segnalazione aerea secondo normativa di sicurezza.

La segnalazione notturna di solito consiste nell'utilizzo di una luce rossa da installare sull'estradosso della navicella dell'aerogeneratore.

La segnalazione diurna consiste di solito nella verniciatura della parte estrema della pala con tre bande di colore rosso ciascuna di 6 m per un totale di 18 m.

La navicella è dotata di un sistema antincendio, che consiste di rilevatori di fumo e CO, i quali rivelano gli incendi e attivano un sistema di spegnimento ad acqua atomizzata ad alta pressione nel caso di incendi dei componenti meccanici e a gas inerte (azoto) nel caso di incendi dei componenti elettrici (cabine elettriche e trasformatore). In aggiunta a ciò, il rivestimento della navicella contiene materiali autoestinguenti.

L'aerogeneratore è dotato di un completo sistema antifulmine, in grado di proteggere da danni diretti ed indiretti sia alla struttura (interna ed esterna) che alle persone. Il fulmine viene "catturato" per mezzo di un sistema di conduttori integrati nelle pale del rotore, disposti ogni

5 metri per tutta la lunghezza della pala. Da questi, la corrente del fulmine è incanalata attraverso un sistema di conduttori a bassa impedenza fino al sistema di messa a terra. La corrente di un eventuale fulmine è scaricata dal rotore e dalla navicella alla torre tramite collettori ad anelli e scaricatori di sovratensioni. La corrente del fulmine è infine scaricata a terra tramite un dispersore di terra. I dispositivi antifulmine previsti sono conformi agli standard della più elevata classe di protezione (Classe I), secondo lo standard internazionale IEC 61024-1.

6 ROTTURA PALA

Le modalità di rottura della pala possono essere assai diverse. Essendo un organo in rotazione è soggetto alla forza centripeta che va equilibrata con l'azione della struttura della torre stessa. Per minimizzare tale forza, la pala è costruita in materiale leggero; normalmente si utilizzano materiali compositi che sfruttano le caratteristiche meccaniche così da far fronte ai carichi aerodinamici imposti.

Le modalità di rottura sono classificabili in due gruppi:

- 1) Rottura della pala alla radice.
- 2) Rottura di frammento.

6.1 FATTORI CHE INFLUENZANO LA GITTATA

Da un punto di vista teorico, non prendendo in considerazione le caratteristiche aerodinamiche proprie della pala, la gittata maggiore della pala o della sezione di pala distaccata, si avrebbe nel caso di distacco in corrispondenza della posizione palare pari a 45 gradi e di moto a "giavelotto" del frammento. Nella realtà la pala ha una complessità aerodinamica tale per cui il verificarsi di un moto a giavelotto è praticamente impossibile: le forze di resistenza viscosa, le azioni resistive del vento ed il moto di rotazione complesso dovuto al profilo aerodinamico della pala/frammento-di-pala, si oppongono al moto e riducono il tempo e la distanza di volo.

La traiettoria iniziale della pala/sezione-di-pala distaccata è determinata principalmente dall'angolo in corrispondenza del quale avviene il distacco e dall'azione esercitata dalle forze e dai momenti di inerzia. Per quanto riguarda le forze di tipo aerodinamico e relativi momenti, queste agiranno sulla pala/sezione-di-pala influenzando i movimenti rotatori in fase di volo.

Il tempo di volo generalmente è determinato:

- dalla componente verticale della velocità iniziale posseduta dalla pala/sezione di pala immediatamente dopo il distacco, in corrispondenza del suo punto baricentrico;
- dalla posizione rispetto al suolo;
- dall'accelerazione verticale;
- dalle forze di attrito agenti sulla pala/sezione di pala stessa.

Il tempo di volo che si deduce da tali considerazioni è utilizzato successivamente per il calcolo della distanza.

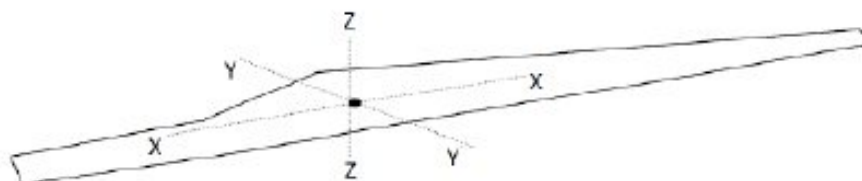
Distanza percorsa

La distanza orizzontale percorsa nella fase di volo è determinata:

- dalla componente orizzontale della velocità immediatamente dopo il distacco;
- dalla velocità del vento nel momento del distacco;
- dalle forze di attrito che agiscono sulla pala/sezione-di-pala in volo;
- dal tempo di volo.

6.2 MOTO ROTAZIONALE COMPLESSO

Il moto reale della parte distaccata risulta molto complesso, poiché dipendente, come detto, dalle caratteristiche aerodinamiche di questa e dalle condizioni iniziali (rollio, imbardata e beccheggio della pala). I casi puramente teorici di rottura e di volo con moto "a giavellotto" sono da ritenere, come accennato, poco realistici data la complessità aerodinamica della pala e la presenza dell'azione del vento. Il modello teorico che meglio caratterizza il moto delle parti (siano esse sezioni di pala e la pala intera) che hanno subito il distacco, e che più si avvicina al caso reale, è il modello "Complex Rotational Motion", che permette di studiare il moto nel suo complesso, considerando i moti di rotazione intorno agli assi xx , yy , zz .



La rotazione della pala intorno all'asse zz è causato dalla conservazione del momento della quantità di moto: in caso di rottura, per il principio di conservazione, il generico spezzone tende a ruotare intorno all'asse ortogonale al proprio piano. La rotazione intorno agli altri assi è dovuta alle azioni indotte dal vento incidente out of plane sulla pala/sezione di pala.

In particolare, si genera:

- un momento intorno all'asse yy : centro di massa e centro aerodinamico della pala/sezione di pala non coincidono;
- un momento intorno all'asse xx : centro di massa della sezione di pala lungo la corda e il centro aerodinamico non coincidono.

La traiettoria iniziale è determinata principalmente dall'angolo di distacco/lancio e dalle forze inerziali agenti sulla pala/frammento di pala: al momento del distacco, oltre all'impulso, agiscono anche i momenti di flapwise, edgewise e pitchwise. Pertanto, il moto

della parte distaccata sarà un moto rotazionale, su cui agisce anche la forza di gravità. La resistenza offerta dalla pala al moto sia *in plane* che *out plane* è generata dalla rotazione intorno agli assi xx e yy.

La massima gittata della pala/frammento di pala è strettamente dipendente:

- dal numero di giri del rotore e quindi dalla velocità periferica della parte al momento del distacco;
- dalla posizione della pala nel momento del distacco;
- dalla dimensione del frammento;
- dal peso del frammento (più leggero è, più il suo moto è limitato dalle forze di attrito viscoso);
- dal profilo aerodinamico della pala/frammento di pala.

Possiamo pertanto concludere che:

- se effettuiamo un calcolo che tenga conto dei valori cinematici e geometrici del moto senza considerare gli effetti viscosi e soprattutto la complessità del moto rotazionale otteniamo valori di gittata più alti di quelli reali (valore teorico > valore reale)
- più che dalle dimensioni dell'aerogeneratore e dell'altezza della torre, i valori della gittata dipendono dalla velocità di rotazione.

6.3 ROTTURA DELLA PALA ALLA RADICE

La rottura della pala alla radice è un evento che storicamente è risultato probabile (rispetto al numero di rotture totali) in quanto la sezione di attacco risulta assai "critica" dal punto di vista strutturale.

Le cause sono sostanzialmente due:

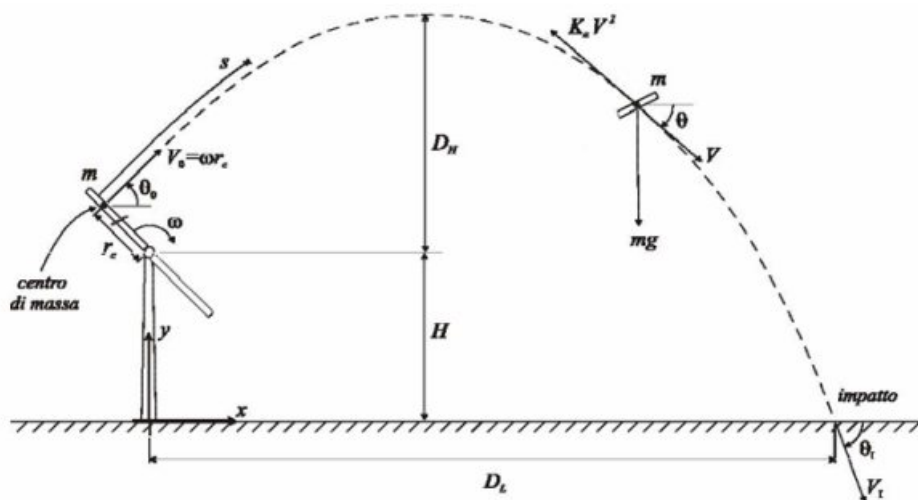
1. la discontinuità della struttura che passa da un carico distribuito sulle fibre alla flangia di attacco crea inevitabili concentrazioni tensionali che con l'andare del tempo possono creare problemi di affaticamento con conseguente rottura. C'è da dire che i costruttori hanno ben chiaro il problema e che negli ultimi anni si sono introdotti diversi accorgimenti che hanno migliorato di molto le prestazioni;
2. la rottura della giunzione bullonata fra la pala ed il mozzo. Il longherone è dotato di attacchi filettati che consentono di collegarlo al mozzo con bulloni serrati opportunamente durante l'installazione della turbina.

Il precarico conferito ai bulloni durante il serraggio ha un'influenza determinante sulla resistenza dei bulloni stessi ai carichi di fatica e, per questo motivo, è previsto un controllo di tale serraggio durante le operazioni di manutenzione programmata della turbina.

L'errata verifica del serraggio ed una plausibile riduzione del precarico possono determinare la rottura per fatica dei bulloni e di conseguenza il possibile distacco della pala.

Per la stima della gittata massima dell'intera pala si impongono alcune ipotesi semplificative:

- 1) distacco netto ed istantaneo di una intera pala alla sua radice;
- 2) baricentro posizionato ad 1/3 della lunghezza della pala;
- 3) assenza di attriti viscosi durante il volo: questa ipotesi risulta conservativa considerando che in letteratura si registra, a causa degli effetti di attrito, una diminuzione del tempo di volo anche del 20%;
- 4) distacco in corrispondenza di un angolo di circa 60° rispetto all'orizzontale, che dal punto di vista teorico garantisce la massima gittata (moto in senso orario);
- 5) distacco alla rotazione di funzionamento massima;
- 6) vento presente durante tutto il volo della pala con velocità corrispondente alla velocità massima di funzionamento;
- 7) assenza di effetti di "portanza" del profilo alare.



Traiettoria della pala

Equazioni del moto applicate:

Le equazioni del moto di un punto materiale soggetto solo alla forza di gravità sono

$$x'' = 0$$

$$y'' = -g$$

dove $g = 9,8 \text{ m/s}^2$ è l'accelerazione di gravità. La legge del moto, soluzione di queste equazioni è:

$$x(t) = x_0 + v_x t$$

$$y(t) = y_0 + v_y t + 1/2 g t^2$$

dove $(x_0; y_0)$, è la posizione iniziale del punto materiale e $(v_x; v_y)$ è la sua velocità.

La velocità V_0 ha due componenti:

$$v_x = V_0 \cos \theta$$

$$v_y = V_0 \sin \theta$$

La traiettoria del punto materiale intercetta il suolo al tempo T tale che $Y(T)=0$; dalla legge del moto si ottiene

$$T = v_y / g + 1/g \sqrt{v_y^2 + 2y_0 g}$$

scartando la soluzione corrispondente a tempi negativi.

Consideriamo il moto bidimensionale dell'elemento rotante, come il moto di un punto materiale concentrato nel baricentro, tenendo conto solo delle forze gravitazionali e supponendo trascurabile l'influenza dei vari agenti atmosferici, in particolare le forze di attrito dell'aria e quelle del vento. Chiamiamo con n il numero di giri al minuto primo compiuti dal corpo in movimento circolare. Tenuto conto che ad ogni giro l'angolo descritto dal corpo in movimento è pari a 2π radianti, per n giri avremo $2\pi n$ radianti/minuto, che è appunto la velocità angolare ω del corpo in movimento. Volendo esprimere la velocità angolare in radianti al secondo avremo:

$$\omega = 2\pi n / 60 \text{ rad/sec}$$

Date le caratteristiche geometriche della pala, e considerata la distribuzione dei pesi lungo il profilo della stessa, si ritiene con buona approssimazione che il baricentro sia posizionato ad un terzo rispetto alla lunghezza della pala, ad una distanza dal centro di rotazione pari a circa $r_g = 22,67$ m essendo il diametro del rotore $D = 136$ m ed la lunghezza di ciascuna pala $R = 68,0$ m circa (approssimazione a vantaggio di sicurezza).

Per determinare la velocità del baricentro della pala basta moltiplicare la distanza del baricentro dal centro di rotazione per la velocità angolare. Il numero di giri valutato per questa analisi è pari a 14,0 giri/minuto (massimo per il tipo di aerogeneratore di progetto).

Per questa velocità angolare, la velocità periferica del baricentro della pala risulta pari a:

$$V_g = \omega r_g = 2\pi n / 60 r_g = 30,84 \text{ m/sec}$$

Per tenere conto degli effetti attritivi dell'area, tale valore viene realisticamente ridotto in fase di calcolo di un'aliquota pari al 10%, pertanto la V_g di calcolo sarà pari a $V_{g^*} = 27,69$ m/s. La posizione e la velocità iniziale sono determinati, oltre che dalla velocità tangenziale appena calcolata, anche dall'angolo θ della pala al momento del distacco.

Essi sono legati alla posizione ed alla velocità iniziale dalle relazioni:

$$x_0 = -r_g \cos(\theta);$$

$$y_0 = H + r_g \sin(\theta);$$

$$v_x = V_g \sin(\vartheta);$$
$$v_y = V_g \cos(\vartheta).$$

La gittata L è la distanza dalla torre del punto di impatto al suolo della pala; l'altezza H è l'altezza del mozzo della torre (115 m). Dalla legge del moto otteniamo:

$$L = X(t)$$

Sostituendo l'espressione ricavata per T , otteniamo la gittata L in termini di V_g e di ϑ :

$$\text{Gittata max: } v_{x0} * (-v_{y0} * (v_{y0}^2 - 4(1/2H_gg)) / g)$$

6.4 DETERMINAZIONE GITTATA AEROGENERATORE D=136 M

L'applicazione delle formule sopra descritte ha portato alla determinazione del valore di gittata massima di seguito esposto.

Dati di input:

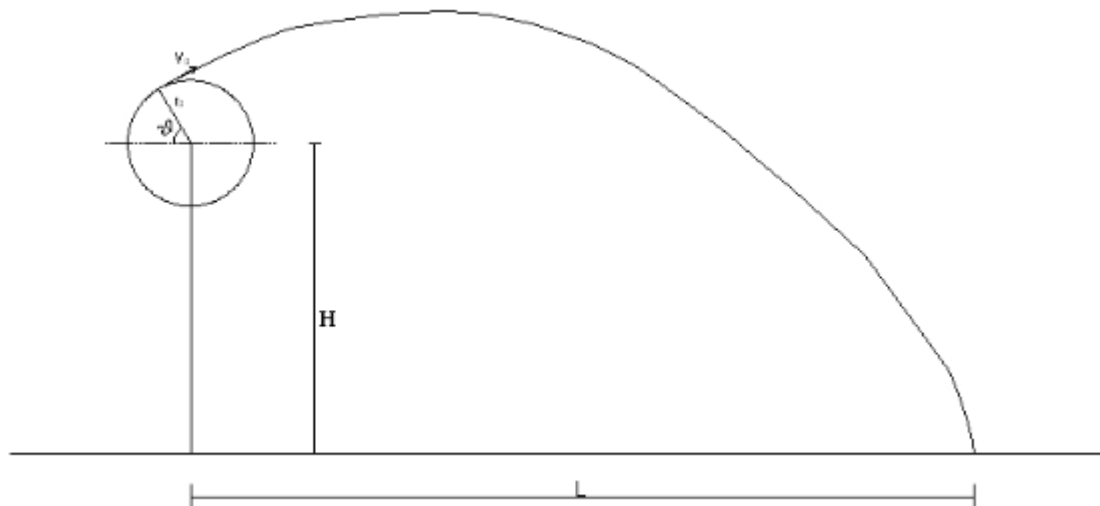
$$V_{g,calc} = 27,76 \text{ m/s};$$

$$r_g = 22,67 \text{ m};$$

$$g = 9.81 \text{ m/s}^2;$$

$$H = 112 \text{ m}.$$

Il valore della gittata dipenderà dall'angolo ϑ .



Si noti che fissato un generico angolo ϑ , la gittata aumenta quadraticamente con V_g salvo i casi particolari $\vartheta = \pm 90^\circ$, $\vartheta = 0^\circ$, $\vartheta = 180^\circ$, nei quali la gittata aumenta linearmente con V oppure è pari a r_g . Come si evidenzia dal grafico e numericamente dalla tabella sotto riportata il valore massimo della gittata è pari a 179,80 m circa con un angolo di distacco di

circa $\vartheta = \pi/3$ rad. e più precisamente pari a 62° . A tale valore dovrà aggiungersi la distanza del vertice della pala dal baricentro pari a 45,33 m e l'ascissa del punto di distacco per un valore complessivo della gittata: $L_{tot} = 235,77$ m.

g	n [/]	ω [rad/s]	r_g [m]	D [m]	R [m]	V_o^* [m/s]	V_o [m/s]	v_{x0}	v_{y0}	θ [°]	θ [rad]	Hrot [m]	Yg [m]	Hg [m]	L_G [m]	Gmax [m]	Xg [m]	G_{TOT} [m]
-9,81	14,00	1,47	22,67	136,00	68,00	29,89	33,21	29,89	0,00	0,00	0,00	112,00	0,00	112,00	45,33	0,00	22,67	68,00
-9,81	14,00	1,47	22,67	136,00	68,00	29,89	33,21	29,87	1,04	2,00	0,03	112,00	0,79	112,79	45,33	9,10	22,65	77,09
-9,81	14,00	1,47	22,67	136,00	68,00	29,89	33,21	29,82	2,09	4,00	0,07	112,00	1,58	113,58	45,33	18,21	22,61	86,15
-9,81	14,00	1,47	22,67	136,00	68,00	29,89	33,21	29,73	3,12	6,00	0,10	112,00	2,37	114,37	45,33	27,28	22,54	95,16
-9,81	14,00	1,47	22,67	136,00	68,00	29,89	33,21	29,60	4,16	8,00	0,14	112,00	3,15	115,15	45,33	36,30	22,45	104,08
-9,81	14,00	1,47	22,67	136,00	68,00	29,89	33,21	29,44	5,19	10,00	0,17	112,00	3,94	115,94	45,33	45,23	22,32	112,89
-9,81	14,00	1,47	22,67	136,00	68,00	29,89	33,21	29,24	6,22	12,00	0,21	112,00	4,71	116,71	45,33	54,05	22,17	121,56
-9,81	14,00	1,47	22,67	136,00	68,00	29,89	33,21	29,00	7,23	14,00	0,24	112,00	5,48	117,48	45,33	62,73	21,99	130,06
-9,81	14,00	1,47	22,67	136,00	68,00	29,89	33,21	28,73	8,24	16,00	0,28	112,00	6,25	118,25	45,33	71,24	21,79	138,36
-9,81	14,00	1,47	22,67	136,00	68,00	29,89	33,21	28,43	9,24	18,00	0,31	112,00	7,00	119,00	45,33	79,56	21,56	146,45
-9,81	14,00	1,47	22,67	136,00	68,00	29,89	33,21	28,09	10,22	20,00	0,35	112,00	7,75	119,75	45,33	87,66	21,30	154,30
-9,81	14,00	1,47	22,67	136,00	68,00	29,89	33,21	27,72	11,20	22,00	0,38	112,00	8,49	120,49	45,33	95,52	21,02	161,87
-9,81	14,00	1,47	22,67	136,00	68,00	29,89	33,21	27,31	12,16	24,00	0,42	112,00	9,22	121,22	45,33	103,12	20,71	169,16
-9,81	14,00	1,47	22,67	136,00	68,00	29,89	33,21	26,87	13,10	26,00	0,45	112,00	9,94	121,94	45,33	110,43	20,37	176,14
-9,81	14,00	1,47	22,67	136,00	68,00	29,89	33,21	26,39	14,03	28,00	0,49	112,00	10,64	122,64	45,33	117,44	20,01	182,79
-9,81	14,00	1,47	22,67	136,00	68,00	29,89	33,21	25,89	14,95	30,00	0,52	112,00	11,33	123,33	45,33	124,14	19,63	189,10
-9,81	14,00	1,47	22,67	136,00	68,00	29,89	33,21	25,35	15,84	32,00	0,56	112,00	12,01	124,01	45,33	130,49	19,22	195,04
-9,81	14,00	1,47	22,67	136,00	68,00	29,89	33,21	24,78	16,72	34,00	0,59	112,00	12,68	124,68	45,33	136,49	18,79	200,62
-9,81	14,00	1,47	22,67	136,00	68,00	29,89	33,21	24,18	17,57	36,00	0,63	112,00	13,32	125,32	45,33	142,13	18,34	205,80
-9,81	14,00	1,47	22,67	136,00	68,00	29,89	33,21	23,56	18,40	38,00	0,66	112,00	13,95	125,95	45,33	147,39	17,86	210,59
-9,81	14,00	1,47	22,67	136,00	68,00	29,89	33,21	22,90	19,21	40,00	0,70	112,00	14,57	126,57	45,33	152,27	17,36	214,97
-9,81	14,00	1,47	22,67	136,00	68,00	29,89	33,21	22,21	20,00	42,00	0,73	112,00	15,17	127,17	45,33	156,76	16,84	218,94
-9,81	14,00	1,47	22,67	136,00	68,00	29,89	33,21	21,50	20,77	44,00	0,77	112,00	15,75	127,75	45,33	160,85	16,31	222,49
-9,81	14,00	1,47	22,67	136,00	68,00	29,89	33,21	20,77	21,50	46,00	0,80	112,00	16,31	128,31	45,33	164,54	15,75	225,62
-9,81	14,00	1,47	22,67	136,00	68,00	29,89	33,21	20,00	22,21	48,00	0,84	112,00	16,84	128,84	45,33	167,83	15,17	228,33
-9,81	14,00	1,47	22,67	136,00	68,00	29,89	33,21	19,21	22,90	50,00	0,87	112,00	17,36	129,36	45,33	170,72	14,57	230,62
-9,81	14,00	1,47	22,67	136,00	68,00	29,89	33,21	18,40	23,56	52,00	0,91	112,00	17,86	129,86	45,33	173,20	13,95	232,49
-9,81	14,00	1,47	22,67	136,00	68,00	29,89	33,21	17,57	24,18	54,00	0,94	112,00	18,34	130,34	45,33	175,29	13,32	233,95
-9,81	14,00	1,47	22,67	136,00	68,00	29,89	33,21	16,72	24,78	56,00	0,98	112,00	18,79	130,79	45,33	176,99	12,68	234,99
-9,81	14,00	1,47	22,67	136,00	68,00	29,89	33,21	15,84	25,35	58,00	1,01	112,00	19,22	131,22	45,33	178,30	12,01	235,64
-9,81	14,00	1,47	22,67	136,00	68,00	29,89	33,21	14,95	25,89	60,00	1,05	112,00	19,63	131,63	45,33	179,23	11,33	235,90
-9,81	14,00	1,47	22,67	136,00	68,00	29,89	33,21	14,03	26,39	62,00	1,08	112,00	20,01	132,01	45,33	179,80	10,64	235,77
-9,81	14,00	1,47	22,67	136,00	68,00	29,89	33,21	13,10	26,87	64,00	1,12	112,00	20,37	132,37	45,33	180,00	9,94	235,27

RELAZIONE GITTATA MASSIMA ELEMENTI ROTANTI

REALIZZAZIONE IMPIANTO EOLICO "CRAVAREZZA"
 COMUNI DI CALICE LIGURE MALLARE ORCO FEGLINO E ALTARE (SV)
PROGETTO DEFINITIVO

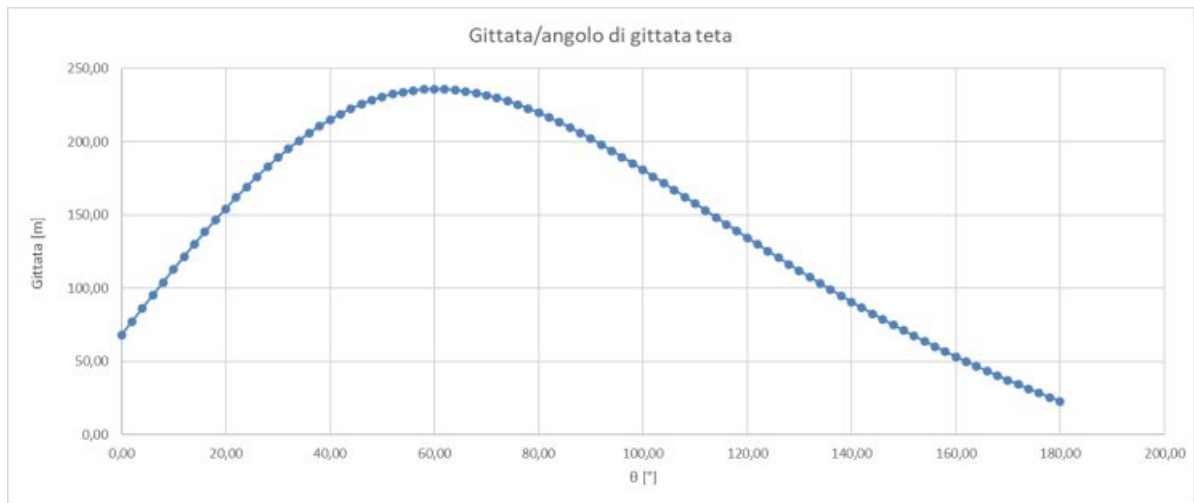


g	n [°]	ω [rad/s]	r_g [m]	D [m]	R [m]	V_0^* [m/s]	V_0 [m/s]	v_{x0}	v_{y0}	ϑ [°]	ϑ [rad]	Hrot [m]	Yg [m]	Hg [m]	L_G [m]	Gmax [m]	Xg [m]	G_{TOT} [m]
-9,81	14,00	1,47	22,67	136,00	68,00	29,89	33,21	12,16	27,31	66,00	1,15	112,00	20,71	132,71	45,33	179,87	9,22	234,42
-9,81	14,00	1,47	22,67	136,00	68,00	29,89	33,21	11,20	27,72	68,00	1,19	112,00	21,02	133,02	45,33	179,40	8,49	233,22
-9,81	14,00	1,47	22,67	136,00	68,00	29,89	33,21	10,22	28,09	70,00	1,22	112,00	21,30	133,30	45,33	178,61	7,75	231,69
-9,81	14,00	1,47	22,67	136,00	68,00	29,89	33,21	9,24	28,43	72,00	1,26	112,00	21,56	133,56	45,33	177,52	7,00	229,85
-9,81	14,00	1,47	22,67	136,00	68,00	29,89	33,21	8,24	28,73	74,00	1,29	112,00	21,79	133,79	45,33	176,13	6,25	227,72
-9,81	14,00	1,47	22,67	136,00	68,00	29,89	33,21	7,23	29,00	76,00	1,33	112,00	21,99	133,99	45,33	174,48	5,48	225,30
-9,81	14,00	1,47	22,67	136,00	68,00	29,89	33,21	6,22	29,24	78,00	1,36	112,00	22,17	134,17	45,33	172,57	4,71	222,61
-9,81	14,00	1,47	22,67	136,00	68,00	29,89	33,21	5,19	29,44	80,00	1,40	112,00	22,32	134,32	45,33	170,42	3,94	219,69
-9,81	14,00	1,47	22,67	136,00	68,00	29,89	33,21	4,16	29,60	82,00	1,43	112,00	22,45	134,45	45,33	168,04	3,15	216,53
-9,81	14,00	1,47	22,67	136,00	68,00	29,89	33,21	3,12	29,73	84,00	1,47	112,00	22,54	134,54	45,33	165,46	2,37	213,16
-9,81	14,00	1,47	22,67	136,00	68,00	29,89	33,21	2,09	29,82	86,00	1,50	112,00	22,61	134,61	45,33	162,68	1,58	209,60
-9,81	14,00	1,47	22,67	136,00	68,00	29,89	33,21	1,04	29,87	88,00	1,54	112,00	22,65	134,65	45,33	159,74	0,79	205,86
-9,81	14,00	1,47	22,67	136,00	68,00	29,89	33,21	0,00	29,89	90,00	1,57	112,00	22,67	134,67	45,33	156,63	0,00	201,96
-9,81	14,00	1,47	22,67	136,00	68,00	29,89	33,21	-1,04	29,87	92,00	1,61	112,00	22,65	134,65	45,33	153,38	-0,79	197,92
-9,81	14,00	1,47	22,67	136,00	68,00	29,89	33,21	-2,09	29,82	94,00	1,64	112,00	22,61	134,61	45,33	150,01	-1,58	193,76
-9,81	14,00	1,47	22,67	136,00	68,00	29,89	33,21	-3,12	29,73	96,00	1,68	112,00	22,54	134,54	45,33	146,52	-2,37	189,48
-9,81	14,00	1,47	22,67	136,00	68,00	29,89	33,21	-4,16	29,60	98,00	1,71	112,00	22,45	134,45	45,33	142,93	-3,15	185,11
-9,81	14,00	1,47	22,67	136,00	68,00	29,89	33,21	-5,19	29,44	100,00	1,75	112,00	22,32	134,32	45,33	139,26	-3,94	180,66
-9,81	14,00	1,47	22,67	136,00	68,00	29,89	33,21	-6,22	29,24	102,00	1,78	112,00	22,17	134,17	45,33	135,52	-4,71	176,14
-9,81	14,00	1,47	22,67	136,00	68,00	29,89	33,21	-7,23	29,00	104,00	1,82	112,00	21,99	133,99	45,33	131,72	-5,48	171,57
-9,81	14,00	1,47	22,67	136,00	68,00	29,89	33,21	-8,24	28,73	106,00	1,85	112,00	21,79	133,79	45,33	127,87	-6,25	166,95
-9,81	14,00	1,47	22,67	136,00	68,00	29,89	33,21	-9,24	28,43	108,00	1,88	112,00	21,56	133,56	45,33	123,98	-7,00	162,30
-9,81	14,00	1,47	22,67	136,00	68,00	29,89	33,21	-10,22	28,09	110,00	1,92	112,00	21,30	133,30	45,33	120,06	-7,75	157,64
-9,81	14,00	1,47	22,67	136,00	68,00	29,89	33,21	-11,20	27,72	112,00	1,95	112,00	21,02	133,02	45,33	116,12	-8,49	152,96
-9,81	14,00	1,47	22,67	136,00	68,00	29,89	33,21	-12,16	27,31	114,00	1,99	112,00	20,71	132,71	45,33	112,18	-9,22	148,29
-9,81	14,00	1,47	22,67	136,00	68,00	29,89	33,21	-13,10	26,87	116,00	2,02	112,00	20,37	132,37	45,33	108,23	-9,94	143,62
-9,81	14,00	1,47	22,67	136,00	68,00	29,89	33,21	-14,03	26,39	118,00	2,06	112,00	20,01	132,01	45,33	104,28	-10,64	138,97
-9,81	14,00	1,47	22,67	136,00	68,00	29,89	33,21	-14,95	25,89	120,00	2,09	112,00	19,63	131,63	45,33	100,35	-11,33	134,35
-9,81	14,00	1,47	22,67	136,00	68,00	29,89	33,21	-15,84	25,35	122,00	2,13	112,00	19,22	131,22	45,33	96,43	-12,01	129,75
-9,81	14,00	1,47	22,67	136,00	68,00	29,89	33,21	-16,72	24,78	124,00	2,16	112,00	18,79	130,79	45,33	92,53	-12,68	125,19
-9,81	14,00	1,47	22,67	136,00	68,00	29,89	33,21	-17,57	24,18	126,00	2,20	112,00	18,34	130,34	45,33	88,66	-13,32	120,67
-9,81	14,00	1,47	22,67	136,00	68,00	29,89	33,21	-18,40	23,56	128,00	2,23	112,00	17,86	129,86	45,33	84,82	-13,95	116,20

g	n [/]	ω [rad/s]	r_g [m]	D [m]	R [m]	V_0^* [m/s]	V_0 [m/s]	v_{x0}	v_{y0}	ϑ [°]	ϑ [rad]	Hrot [m]	Yg [m]	Hg [m]	L_G [m]	Gmax [m]	Xg [m]	G_{TOT} [m]
-9,81	14,00	1,47	22,67	136,00	68,00	29,89	33,21	-19,21	22,90	130,00	2,27	112,00	17,36	129,36	45,33	81,01	-14,57	111,77
-9,81	14,00	1,47	22,67	136,00	68,00	29,89	33,21	-20,00	22,21	132,00	2,30	112,00	16,84	128,84	45,33	77,24	-15,17	107,41
-9,81	14,00	1,47	22,67	136,00	68,00	29,89	33,21	-20,77	21,50	134,00	2,34	112,00	16,31	128,31	45,33	73,51	-15,75	103,10
-9,81	14,00	1,47	22,67	136,00	68,00	29,89	33,21	-21,50	20,77	136,00	2,37	112,00	15,75	127,75	45,33	69,82	-16,31	98,85
-9,81	14,00	1,47	22,67	136,00	68,00	29,89	33,21	-22,21	20,00	138,00	2,41	112,00	15,17	127,17	45,33	66,17	-16,84	94,66
-9,81	14,00	1,47	22,67	136,00	68,00	29,89	33,21	-22,90	19,21	140,00	2,44	112,00	14,57	126,57	45,33	62,57	-17,36	90,54
-9,81	14,00	1,47	22,67	136,00	68,00	29,89	33,21	-23,56	18,40	142,00	2,48	112,00	13,95	125,95	45,33	59,01	-17,86	86,48
-9,81	14,00	1,47	22,67	136,00	68,00	29,89	33,21	-24,18	17,57	144,00	2,51	112,00	13,32	125,32	45,33	55,50	-18,34	82,49
-9,81	14,00	1,47	22,67	136,00	68,00	29,89	33,21	-24,78	16,72	146,00	2,55	112,00	12,68	124,68	45,33	52,03	-18,79	78,58
-9,81	14,00	1,47	22,67	136,00	68,00	29,89	33,21	-25,35	15,84	148,00	2,58	112,00	12,01	124,01	45,33	48,62	-19,22	74,73
-9,81	14,00	1,47	22,67	136,00	68,00	29,89	33,21	-25,89	14,95	150,00	2,62	112,00	11,33	123,33	45,33	45,25	-19,63	70,95
-9,81	14,00	1,47	22,67	136,00	68,00	29,89	33,21	-26,39	14,03	152,00	2,65	112,00	10,64	122,64	45,33	41,93	-20,01	67,25
-9,81	14,00	1,47	22,67	136,00	68,00	29,89	33,21	-26,87	13,10	154,00	2,69	112,00	9,94	121,94	45,33	38,66	-20,37	63,62
-9,81	14,00	1,47	22,67	136,00	68,00	29,89	33,21	-27,31	12,16	156,00	2,72	112,00	9,22	121,22	45,33	35,43	-20,71	60,05
-9,81	14,00	1,47	22,67	136,00	68,00	29,89	33,21	-27,72	11,20	158,00	2,76	112,00	8,49	120,49	45,33	32,25	-21,02	56,56
-9,81	14,00	1,47	22,67	136,00	68,00	29,89	33,21	-28,09	10,22	160,00	2,79	112,00	7,75	119,75	45,33	29,11	-21,30	53,15
-9,81	14,00	1,47	22,67	136,00	68,00	29,89	33,21	-28,43	9,24	162,00	2,83	112,00	7,00	119,00	45,33	26,02	-21,56	49,80
-9,81	14,00	1,47	22,67	136,00	68,00	29,89	33,21	-28,73	8,24	164,00	2,86	112,00	6,25	118,25	45,33	22,97	-21,79	46,52
-9,81	14,00	1,47	22,67	136,00	68,00	29,89	33,21	-29,00	7,23	166,00	2,90	112,00	5,48	117,48	45,33	19,97	-21,99	43,31
-9,81	14,00	1,47	22,67	136,00	68,00	29,89	33,21	-29,24	6,22	168,00	2,93	112,00	4,71	116,71	45,33	17,00	-22,17	40,17
-9,81	14,00	1,47	22,67	136,00	68,00	29,89	33,21	-29,44	5,19	170,00	2,97	112,00	3,94	115,94	45,33	14,08	-22,32	37,09
-9,81	14,00	1,47	22,67	136,00	68,00	29,89	33,21	-29,60	4,16	172,00	3,00	112,00	3,15	115,15	45,33	11,19	-22,45	34,08
-9,81	14,00	1,47	22,67	136,00	68,00	29,89	33,21	-29,73	3,12	174,00	3,04	112,00	2,37	114,37	45,33	8,34	-22,54	31,14
-9,81	14,00	1,47	22,67	136,00	68,00	29,89	33,21	-29,82	2,09	176,00	3,07	112,00	1,58	113,58	45,33	5,53	-22,61	28,25
-9,81	14,00	1,47	22,67	136,00	68,00	29,89	33,21	-29,87	1,04	178,00	3,11	112,00	0,79	112,79	45,33	2,75	-22,65	25,43
-9,81	14,00	1,47	22,67	136,00	68,00	29,89	33,21	-29,89	0,00	180,00	3,14	112,00	0,00	112,00	45,33	0,00	-22,67	22,67

RELAZIONE GITTATA MASSIMA ELEMENTI ROTANTI

REALIZZAZIONE IMPIANTO EOLICO "CRAVAREZZA"
COMUNI DI CALICE LIGURE MALLARE ORCO FEGLINO E ALTARE (SV)
PROGETTO DEFINITIVO



Dati di input calcolo AEROGENERATORE di riferimento:

$D=136$ m

$H_{\text{mozzo}} = 112$ m

$L_{\text{pala}}=68$ m

Rpm = 13,0

Gittata max., totale=235,77 m.

6.5 FRAMMENTO DI PALA

L'evento della rottura di un frammento consistente di pala risulta meno frequente¹. Per le caratteristiche del materiale strutturale, tende ad essere una rottura progressiva. Pertanto, nella maggior parte dei casi si ha una prima flessione della struttura con conseguente inevitabile urto con la torre (posta sottovento nella quasi totalità delle WTG). La conseguente rottura dà luogo a traiettorie varie che non sono deterministicamente calcolabili.

Nella maggior parte dei casi di lancio di piccoli frammenti di pala, la causa registrata è la concomitanza di fulminazioni di natura atmosferica. Tale fenomeno è stato considerato dai costruttori che hanno iniziato a dotare gli aerogeneratori di un sistema di convogliamento della corrente di fulminazione costituito da recettori metallici posti lungo la pala, da un cavo che collega i recettori alla radice pala e da un sistema di messa a terra (come nel caso degli aerogeneratori di progetto). In questo modo si riesce a drenare una buona parte delle correnti indotte dalle fulminazioni atmosferiche senza danni alle pale. In qualche caso, in cui la corrente di fulmine ha presumibilmente ecceduto i limiti progettuali (fissati dalle norme internazionali) si può manifestare un danneggiamento all'estremità della pala che si apre per la separazione dei due gusci, ma che, normalmente, non si distacca dal corpo della pala. È possibile che frammenti di guscio possano staccarsi, ma si tratta comunque di parti molto leggere in confronto alla resistenza che oppongono all'aria e che quindi non possono essere oggetto di calcoli di gittata come quelli che si possono effettuare sul corpo pala.

Per avere un ordine di grandezza sulla distanza raggiunta dai frammenti di una pala eolica, si fa riferimento allo studio "Recommendations of Risk assessment of ice throw and Blade Failure in Ontario – Canadian Wind Energy Association – M.P. Leblanc – Garrad Hassan". Secondo tale studio, la probabilità che un frammento di pala staccatosi dalla turbina vada oltre i 50 m dalla torre è dell'ordine di 2×10^{-5} .

6.6 GITTATA MASSIMA DEL FRAMMENTO DI PALA

Volendo stabilire quale sia la gittata massima del frammento di pala, facendo riferimento al rischio accettato² in sede progettuale (pari a 10^{-6}) si raggiunge tale valore a meno di 190 m.

A 190 m la probabilità diminuisce ancora di un fattore 10 e, per eventi rari come quelli della rottura di una pala la probabilità diventa praticamente nulla.

¹ Analysis of Risk-Involved Incidents of Wind Turbine – version 1.1 Januar 2005 – ECN: per la rottura Rottura Pala riporta una probabilità di $8,4 \cdot 10^{-4}$ [1/y] mentre per il frammento $2,6 \cdot 10^{-4}$ [1/y].

² European Wind Turbine Standards II

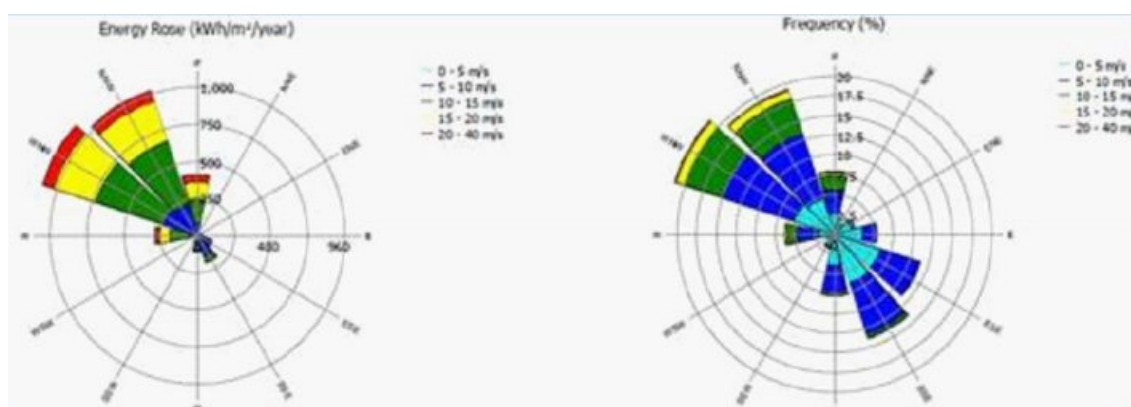
7 CONCLUSIONI

Partendo dai dati degli aerogeneratori in merito alla velocità di rotazione fornita dal costruttore (rpm) sono stati eseguiti dei calcoli di gittata con la teoria della fisica del punto materiale. Il calcolo illustrato nei paragrafi precedenti porta ad un valore massimo di gittata pari a 235,77 m.

La gittata massima calcolata garantisce la distanza di sicurezza per tutte le turbine di progetto F01, F02, F03, F04, F05, F06, F07 sia dalle strade provinciali/statali sia da edifici abitabili (così censiti da analisi catastale) presenti nell'area del parco sia dai limitrofi centri abitati (Allegato 1).

In ogni caso, il calcolo svolto in questa sede risulta fortemente cautelativo come dimostrato dagli studi di letteratura realizzati attraverso il più rigoroso Metodo Rotazionale Complesso.

Si precisa inoltre che il valore massimo della rotazione nominale rpm si avrà esclusivamente nella direzione principale del vento, ovvero la direzione assunta dall'aerogeneratore in gran parte della sua fase di esercizio. Tale direzione è esplicitata attraverso la rosa dei venti come da immagine a seguire:



Rosa dei Venti – Direzione principale del vento nell'area di progetto

Gli aerogeneratori di progetto sono comunque dotati di un sistema di controllo grazie al quale, in qualunque momento, sarà possibile imporre una limitazione nella rotazione del sistema delle pale, in qualunque direzione desiderata.

La tabella a seguire riporta la sintesi di quanto messo in evidenza analiticamente, ovvero il pieno rispetto della posizione degli aerogeneratori, relativamente al fenomeno della rottura degli organi rotanti, rispetto a viabilità e immobili.

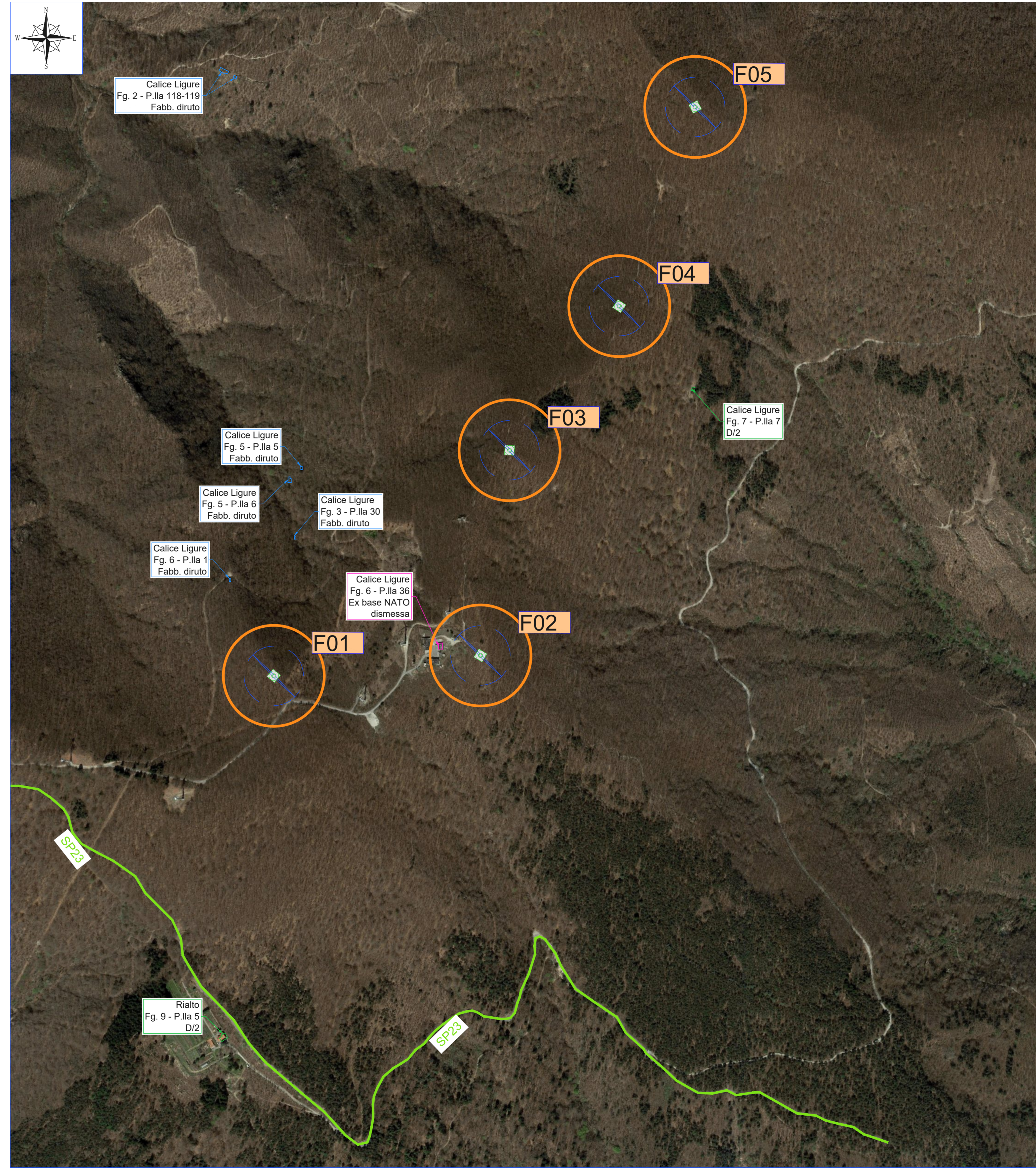
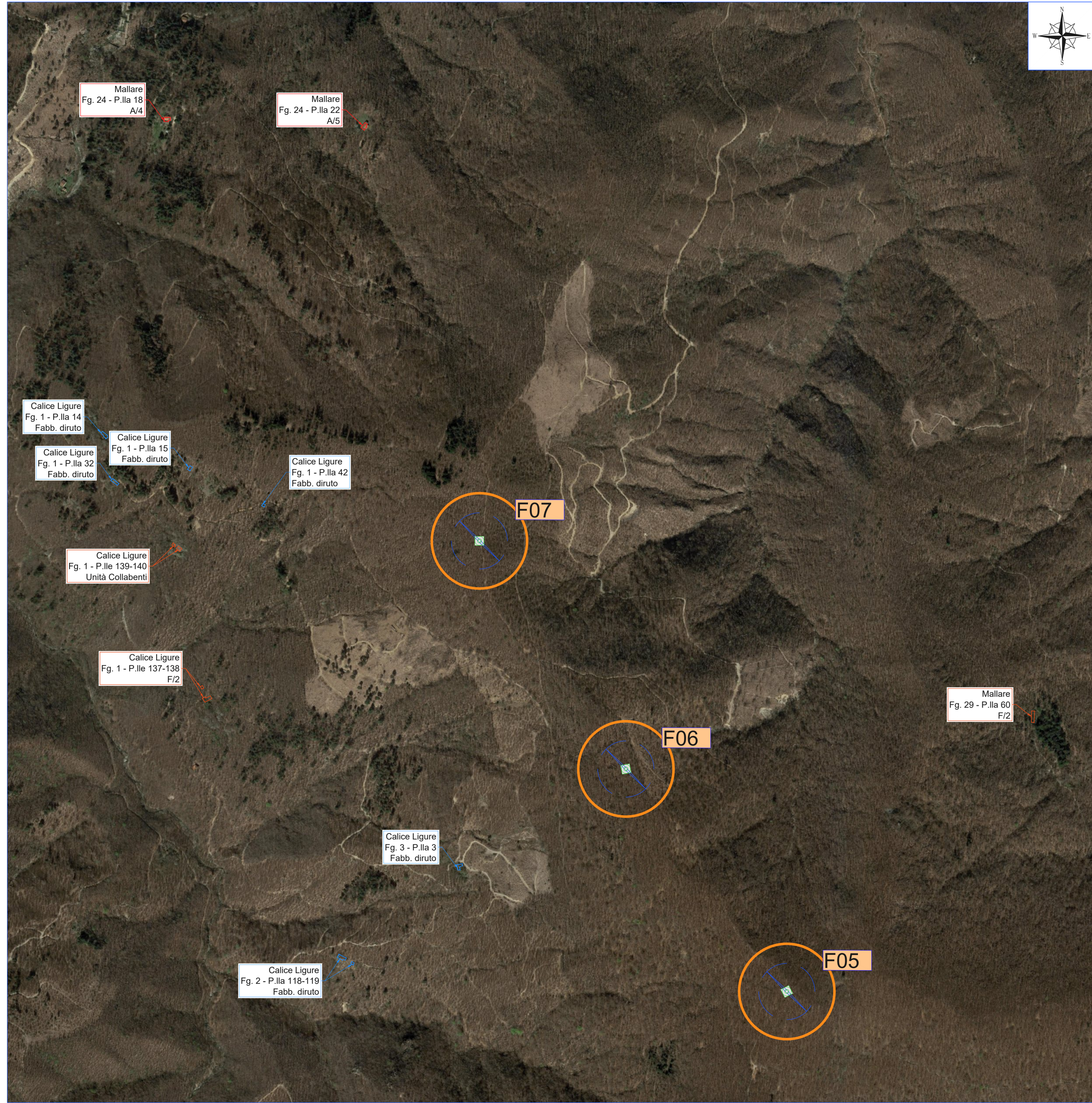
RELAZIONE GITTATA MASSIMA ELEMENTI ROTANTI

REALIZZAZIONE IMPIANTO EOLICO "CRAVAREZZA"
COMUNI DI CALICE LIGURE MALLARE ORCO FEGLINO E ALTARE (SV)
PROGETTO DEFINITIVO

Aerogeneratore	Distanza immobili	Distanza viabilità	Gittata
F01	>500 m	560 m da SP23	235,77 m
F02	>500 m	920 m da SP23	235,77 m
F03	439 m da F.7 Calice Ligure p.lla 7 (D2)	> 1000 m	235,77 m
F04	252 m da F.7 Calice Ligure p.lla 7 (D2)	> 1000 m	235,77 m
F05	>500 m	> 1000 m	235,77 m
F06	>500 m	> 1000 m	235,77 m
F07	>500 m	> 1000 m	235,77 m

Distanza aerogeneratori – Recettori limitrofi

8 ALLEGATO 1 – BUFFER GITTATA SU ORTOFOTO



LEGENDA	
	POSIZIONE AEROGENERATORE
F01	NOME AEROGENERATORE
	BUFFER GITTATA 235,77 m
	Edifici categoria A
	Fabbricati diruti
	Unità collabenti
	Fabbricati categoria D/2
	Fabbricati categoria B/1
	Strada Provinciale SP23

PROPRONTE
REPOWER
 L'energia che ti serve.

PROGETTAZIONE

 Progettista: Ing. Mariano Galbo

N° COMMESSA
1454 PARCO EOLICO "CRAVAREZZA"
 REGIONE LIGURIA- PROVINCIA DI SAVONA
 COMUNI DI CALICE LIGURE (PARCO EOLICO), MALLARE (PARCO EOLICO, CAVIDOTTI E SSEU),
 ORCO FEGLIINO E ALTARE (CAVIDOTTI)
 PROGETTO DEFINITIVO

ELABORATO
 RELAZIONE GITTATA MASSIMA ELEMENTI ROTANTI
 ALLEGATO 1 - PLANIMETRIA SU ORTOFOTO CON
 INDIVIDUAZIONE DELLE INTERFERENZE

CODICE ELABORATO
1454_R16

SCALA
 1:500

Nome FILE
 1454_R16.dwg

01 Novembre 2021 PRIMA EMISSIONE
 02/12/2021 SECONDA EMISSIONE

03/12/2021 VERIFICA
 04/12/2021 APPROVAZIONE

Copyright REPOWER RENEWABLE S.p.A. TUTTI I DIRITTI SONO RISERVATI A NORMA DI LEGGE

9 ALLEGATO 2 – IMMOBILI CENSITI NELL'INTORNO DI 1000 M DAGLI AEROGENERATORI DI PROGETTO

Censimento Catastale nell'intorno di 1 km dagli aerogeneratori				
IMMOBILE			Categoria Catastale	
Città	Foglio	Particella		
Calice Ligure	1	15	Fabb. Diruto	/
		14	Fabb. Diruto	/
		32	Fabb. Diruto	/
		139	F2	Unità collabenti
		140	F2	Unità collabenti
		42	Fabb. Diruto	/
		137	F2	Unità collabenti
		138	F2	Unità collabenti
Calice Ligure	3	3	Fabb. Diruto	/
		30	Fabb. Diruto	/
Calice Ligure	5	5	Fabb. Diruto	/
		6	Fabb. Diruto	/
Calice Ligure	2	118	F2	Unità collabenti
		119	F2	Unità collabenti
Calice Ligure	6	1	Fabb. Diruto	/
		36	B1	Ex Base NATO dismessa
Calice Ligure	7	7	D2	Alberghi e pensioni
Mallare	24	18	A4	Abitazioni di tipo popolare
		22	A5	Abitazioni di tipo ultrapolare
	29	60	F2	Unità collabenti
Rialto	9	5	D2	Alberghi e pensioni